

B. A. Боровиков, B. B. Булатов,  
Ю. В. Владимиров, Е. С. Левченко

## О РАСЧЕТЕ ПОЛЯ ВНУТРЕННИХ ГРАВИТАЦИОННЫХ ВОЛН, ГЕНЕРИРУЕМЫХ НЕПОДВИЖНЫМ ИСТОЧНИКОМ В ПОТОКЕ СТРАТИФИЦИРОВАННОЙ ЖИДКОСТИ

Рассматривается задача о генерации внутренних волн (ВВ) источником в однородном потоке стратифицированной жидкости. Обычно исследования поля ВВ проводят асимптотическими методами [1, 2]. В [3] найдено точное решение этой задачи в форме однократных квадратур от специальных функций, приведены результаты численных расчетов для случая постоянной частоты Брента — Вайселя  $N(z)$ . В [4] исследован случай двухслойной жидкости. В настоящей работе предлагаются новые более простые квадратурные формулы для поля, приводятся результаты численных расчетов поля ВВ по этим формулам для произвольного модельного распределения  $N(z)$  и обсуждаются локальные особенности волнового поля вблизи источника.

Поле ВВ в слое  $0 < z < H$  от источника, находящегося в потоке набегающей стратифицированной жидкости, описывается в приближении Буссинеска уравнением

$$(1) \quad \frac{\partial^2}{\partial t^2} (\eta_{xx} + \eta_{yy} + \eta_{zz}) + N^2(z) (\eta_{xx} + \eta_{yy}) = \\ = Q\theta(t) \delta'_i(x + vt) \delta(y) \delta'(z - z_0),$$

где  $\eta(x, y, z, t)$  — возвышение, связанное с вертикальной компонентой скорости  $w(x, y, z, t)$  соотношением  $w = \partial\eta/\partial t$ ;  $v$  — скорость набегающего потока;  $z_0$  — глубина погружения источника;  $\theta(t) = 0$  при  $t \leq 0$  и  $\theta(t) = 1$  при  $t > 0$ ;  $Q$  — интенсивность источника.

Используется граничное условие в приближении «твердой крышки»

$$(2) \quad \eta = 0, \quad z = 0, \quad H.$$

В [5] показано, что решение задачи (1), (2) представляется в виде суммы мод, каждая из которых имеет максимальную групповую скорость  $c_n (c_1 > c_2 > \dots)$ . Далее рассмотрим наиболее распространенный случай  $v > c_n, n = 1, 2, \dots$ . В этих предположениях решение задачи (1), (2) примет вид [5]

$$(3) \quad \eta = \sum_n \eta_n = \frac{Q}{4\pi^2} \sum_n \int_{-\infty}^{\infty} dv \times \\ \times \int_{-\infty+ie}^{\infty+ie} d\mu \frac{i\mu v \omega_n^2(k) \varphi_n(z, k) \exp(-i\mu(x + vt) - ivy)}{k^2(\omega_n^2(k) - \mu^2 v^2)} \frac{\partial \varphi_n(z_0, k)}{\partial z_0}.$$

Здесь  $\varphi_n(z, k)$ ,  $\omega_n(k)$  — собственные функции и собственные числа задачи

$$(4) \quad \frac{\partial^2 \varphi_n}{\partial z^2} + k^2 \left[ \frac{N^2(z)}{\omega_n^2(k)} - 1 \right] \varphi_n = 0, \quad \varphi_n = 0 \quad (z = 0, H).$$

При  $v < c_1$  решение будет более сложного вида и требует специального рассмотрения.

Чтобы вычислить внутренний интеграл в (3), следует замкнуть контур интегрирования по  $\mu$  в верхней полуплоскости при  $\xi < 0$  ( $\xi = x + vt$ ) и в нижней при  $\xi > 0$ . Рассмотрим, как устроены особые точки — полюсы и точки ветвления подынтегрального выражения в (3) при вещественных  $v$  и комплексных  $\mu$ .

Покажем, что полюсы этого выражения, т. е. корни уравнения  $\mu^2 v^2 = \omega_n^2(\sqrt{v^2 + \mu^2})$ , существуют лишь при вещественных  $\mu^2$ , т. е. или при вещественных  $\mu = \pm \mu_n(v)$ , или при чисто мнимых  $\mu = \pm i\lambda_n(v)$ . Действительно, из (3) следует, что корни уравнения  $\mu^2 v^2 = \omega_n^2(\sqrt{v^2 + \mu^2}) -$

собственные числа задачи

$$(5) \quad \frac{\partial^2 \psi_n(z, v)}{\partial z^2} + \left\{ \left[ \frac{N^2(z)}{v^2} - v^2 \right] + \left[ \frac{v^2 N^2(z)}{v^2 \mu_n^2(v)} - \mu_n^2(v) \right] \right\} \psi_n(z, v) = 0,$$

$$\psi_n = 0 \quad (z = 0, H),$$

которая не является классической задачей Штурма — Лиувилля, так как спектральный параметр  $\mu_n(v)$  входит нестандартным образом. Умножая (5) на комплексно-сопряженную функцию  $\overline{\psi_n(z, v)}$  и интегрируя по  $z$ , получим

$$\int_0^H \left\{ - \left| \frac{\partial \psi_n(z, v)}{\partial z} \right|^2 + \left[ \frac{N^2(z)}{v^2} - v^2 \right] |\psi_n(z, v)|^2 + \right.$$

$$\left. + \left[ \frac{v^2 N^2(z)}{v^2 \mu_n^2(v)} - \mu_n^2(v) \right] |\psi_n(z, v)|^2 \right\} dz = 0.$$

При  $\operatorname{Im} \mu_n^2(v) \neq 0$  мнимая часть подынтегрального выражения имеет знак, противоположный знаку  $\operatorname{Im} \mu_n^2(v)$ , и интеграл не обращается в нуль. Это противоречие и доказывает, что у спектральной задачи (5) есть лишь вещественные  $\mu_n^2(v)$ . Аналогичные рассуждения можно провести и для  $\mu = \pm i\lambda_n(v)$ , где  $\lambda_n(v)$  — собственные числа задачи

$$(6) \quad \frac{\partial^2 f_n(z, v)}{\partial z^2} + \left\{ \left[ \frac{N^2(z)}{v^2} - v^2 \right] + \left[ \lambda_n^2(v) - \frac{v^2 N^2(z)}{v^2 \lambda_n^2(v)} \right] \right\} f_n(z, v) = 0,$$

$$f_n = 0 \quad (z = 0, H).$$

Если  $v > c_1$ , то при любом  $v$  у спектральной задачи (6) есть собственные числа  $\lambda_n(v)$  и собственные функции  $f_n(z, v)$ .

Функция  $\omega_n^2(\sqrt{v^2 + \mu^2})$  может также иметь точки ветвления при комплексных значениях  $\mu = \mu_*(v)$ , для которых  $\partial \omega / \partial k$  при  $k = k_* = \sqrt{v^2 + \mu_*^2(v)}$  обращается в бесконечность. Дифференцируя (4) по параметру  $k$ , нетрудно показать, что для этого необходимо  $\int_0^H N^2(z) \varphi_n^2(z, k) dz = 0$ .

Поэтому при интегрировании по  $\mu$  в каждом из интегралов в (3) придется кроме указанных выше полюсов в точках  $\mu = \pm \mu_n(v)$  и  $\mu = \pm i\lambda_n(v)$  учесть интегралы по соответствующим разрезам. Однако при суммировании по  $n$  в (3) интегралы по разрезам взаимно уничтожаются.

Действительно, пусть  $\mu = \mu_*$  — точка ветвления функции  $\omega_n(\sqrt{v^2 + \mu^2})$ . Поскольку, очевидно, каждая из ветвей функции  $\omega_n(\sqrt{v^2 + \mu^2})$  — собственное число спектральной задачи (4), то есть несколько собственных чисел, сливающихся друг с другом при  $\mu \rightarrow \mu_*$  и переходящих друг в друга при обходе точки ветвления  $\mu = \mu_*$ . В простейшем случае будет два таких числа:  $\omega_n$  и  $\omega_m$ , при обходе вокруг точки ветвления  $\omega_n$  и  $\omega_m$  переходят друг в друга. При таком обходе в сумме (3) слагаемое  $\eta_n$  переходит в  $\eta_m$ ,  $\eta_m$  — в  $\eta_n$ , а сумма  $\eta_n + \eta_m$ , очевидно, — сама в себя. Иными словами, для  $\eta_n + \eta_m$  точка  $\mu = \mu_*$  является устранимой особой точкой, и поэтому интеграл по разрезу исчезает. Аналогично показывается, что интегралами по разрезам можно пренебречь и в случае точки ветвления более высокого порядка. Поэтому при интегрировании по  $\mu$  в каждом из слагаемых в (3) достаточно учитывать лишь полюсы подынтегрального выражения. Далее будем рассматривать одну, отдельно взятую моду. Замыкая контур интегрирования по  $\mu$  в верхней полуплоскости при  $\xi < 0$  и в нижней при  $\xi > 0$ , можно получить, что  $\eta_n = I_+ + I_- + I_0$  ( $\xi > 0$ ) или  $\eta_n = -I_0$  ( $\xi < 0$ ). Здесь

$$(7) \quad I_{\pm} = -\frac{Q}{2\pi i} \int_{-\infty}^{\infty} \exp(\pm i\mu_n(v)\xi - ivy) b_n(v) \psi_n(z, v) \frac{\partial \psi_n(z, v)}{\partial z} dv;$$

$$(8) \quad I_0 = -\frac{Q}{2\pi i} \int_{-\infty}^{\infty} \exp(-\lambda_n(v)|\xi| + ivy) d_n(v) f_n(z, v) \frac{\partial J_n(z_0, v)}{\partial z} dv,$$

$$b_n(v) = \frac{i\mu_n^2(v) v}{2(\mu_n^2(v) + v^2)} \left( \frac{\mu_n(v) \mu'_n(v)}{v} + 1 \right), \quad d_n(v) =$$

$$= \frac{\lambda_n^2(v) v}{2i(\lambda_n^2(v) - v^2)} \left( \frac{\lambda_n(v) \lambda'_n(v)}{v} - 1 \right).$$

Свойства функции  $\mu_n(v)$  описаны в [5]. Рассмотрим функцию  $\lambda_n(v)$ . Методом возмущений нетрудно показать, что  $\lambda_n(v)$  при малых  $v$  разлагается в ряд по четным степеням  $v$ :  $\lambda_n(v) = \alpha_n + \beta_n v^2 + \dots$ , где  $\alpha_n$  определяется из задачи Штурма — Лиувилля

$$\frac{d^2 p_n}{dz^2} + \left[ \frac{N^2(z)}{v^2} + \alpha_n^2 \right] p_n = 0, \quad p_n = 0 \quad (z = 0, H),$$

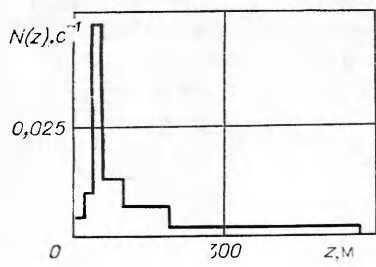
при этом  $p_n(z) = f_n(z, 0)$ , а  $\beta_n = \frac{1}{2\alpha_n} \left( 1 + \frac{l_n^2}{v^2 \alpha_n^2} \right)$ ,  $l_n^2 = \frac{\int_0^H N^2(z) p_n^2(z) dz}{\int_0^H p_n^2(z) dz}$ .

Аналогичным образом можно видеть, что при  $v \rightarrow \infty$  функция  $\lambda_n(v)$  допускает разложение

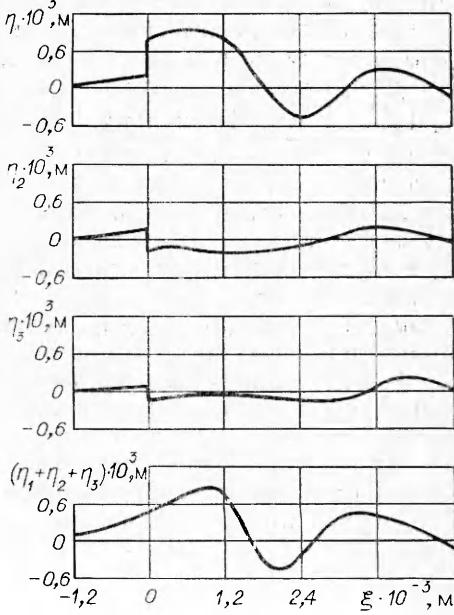
$$\lambda_n(v) = v + \gamma_n/v + \delta_n/v^3 + \dots,$$

$$\gamma_n = \frac{\pi^2 n^2}{2H^2}, \quad \delta_n = -\frac{\pi^2 n^2}{H^3} \left( \frac{\pi^2 n^2}{8H} + \frac{1}{v^2} \int_0^H N^2(z) \sin^2 \frac{n\pi}{H} z dz \right).$$

Для численных расчетов использовалось распределение  $N(z)$ , изображенное на рис. 1. На рис. 2 представлены результаты расчетов по формулам (7), (8) при  $v = 2$  м/с,  $y = 300$  м,  $Q = 1$  м<sup>3</sup>/с,  $z = 200$  м,  $z_0 = 22$  м. Расчеты проводились для первых трех мод. Видно, что отдельные слагаемые  $\eta_n$  ( $n = 1, 2, 3$ ) претерпевают разрыв при  $\xi = 0$ , тогда как их сумма непрерывна. При увеличении  $y$  основной вклад в поле вносит слагаемое  $I_+$ , а остальные слагаемые, включая и интеграл вдоль разреза, пре-небрежимо малы, и функции становятся практически непрерывными. Таким образом, при численном рас-чете ближнего поля непрерывность суммы может служить критерием для определения количества мод, вносящих вклад в общее поле.



Р и с. 1



Р и с. 2

Заметим, что при расчете поля  $w$  вертикальных скоростей отдельные моды всегда непрерывны, так как интегралы по разрезам входят при замыкании контура вверх ( $\xi < 0$ ) и вниз ( $\xi > 0$ ) с одинаковыми знаками (точки ветвления появляются парами, а подынтегральная функция нечетная по  $\mu$ ), и вышеприведенным критерием пользоваться нельзя.

## ЛИТЕРАТУРА

1. Keller J. B., Muuk W. H. Internal wave wakes of a body moving in a stratified fluid// Phys. Fluids.— 1970.— V. 13, N 6.
2. Miles J. W. Internal waves generated by a horizontally moving source // Geoph. Fluid Dyn.— 1971.— V. 2, N 1.
3. Саников В. Ф. Ближнее поле установившихся волн, генерируемых локальным источником возмущений в потоке стратифицированной жидкости // Теоретические исследования волновых процессов в океане.— Севастополь, 1983.
4. Веденников В. Е., Саников В. Ф. Некоторые особенности поля внутренних волн, генерируемых локальным источником возмущений в потоке двухслойной жидкости // ПМТФ.— 1987.— № 2.
5. Боровиков В. А., Владимиров Ю. В., Кельберт М. Я. Поле внутренних гравитационных волн, возбуждаемых локализованными источниками // Изв. АН СССР. ФАО.— 1984.— Т. 20, № 6.

г. Москва

Поступила 21/IX 1987 г.,  
в окончательном варианте —  
16/II 1988 г.

УДК 536.253

Г. С. Голицын, Ю. А. Гостинцев, А. Ф. Солововник

## ТУРБУЛЕНТНАЯ ПЛАВУЧАЯ СТРУЯ В СТРАТИФИЦИРОВАННОЙ АТМОСФЕРЕ

Надежность прогнозов экологических последствий ряда природных и антропогенных катастроф (извержения вулканов, большие пожары, аварии АЭС, ядерные взрывы) в значительной степени зависит от точности предсказания первоначальной пространственной картины загрязнения атмосферы над индивидуальными источниками тепла и примеси [1]. Под первоначальным загрязнением подразумеваются максимальная высота выброса примеси и распределение ее концентрации в пространстве в моменты времени, близкие к окончанию осредненных вертикальных свободноконвективных перемещений облака или струи нагретых продуктов.

В зависимости от соотношения между временем действия  $t_{\text{и}}$  источника тепла (примеси) и характерным временем тепловой релаксации атмосферы  $t_N \sim 2\pi N^{-1}$  ( $N$  — частота Вайсяля — Брента) можно выделить две предельные пространственные конфигурации свободно-конвективных движений [2]. Если  $t_{\text{и}} \ll t_N$  (в пределе при мгновенном выделении энергии), то в атмосфере быстро формируется оторвавшееся от земли всплювающее облако — термик. При обратном соотношении времен (в пределе при постоянно действующем источнике) над очагом образуется конвективная колонка восходящего струйного движения продуктов. Для стандартного состояния атмосферы ( $N = 0,016 \text{ с}^{-1}$  в тропосфéricном слое)  $t_N \approx 10 \text{ мин}$ . За это время облако или струя достигнут своей максимальной точки подъема и начнут деформироваться в основном в горизонтальном направлении. При этом термик будет совершать затухающие колебательные вертикальные движения около уровня теплового равновесия, а конвективная колонка (например, от очага пожара) — образовывать медленно расширяющуюся на высоте зависания конфигурацию струйного квазистационарного течения.

Перенос примеси в атмосфере мощными термиками исследован довольно подробно как аналитическими [2—5], так и численными [6, 7] методами, и предсказания теории в основном хорошо согласуются с экспериментальными данными. Ниже излагаются результаты изучения второго предельного случая свободноконвективных движений — двумерной осесимметричной турбулентной плавучей струи.

**Основные уравнения.** Система уравнений для осредненных параметров стационарной турбулентной свободноконвективной осесимметричной